

E方知库  
Eco-Environmental  
Knowledge Web

# 环境科学

ENVIRONMENTAL SCIENCE

ISSN 0250-3301 CODEN HCKHDV  
HUANJING KEXUE

■ 主办 中国科学院生态环境研究中心  
■ 出版 科学出版社



2020

Vol.41 No.1  
第41卷 第1期

目次

近20年来中国PM<sub>2.5</sub>污染演变的时空过程 ..... 时燕, 刘瑞梅, 罗毅, 杨昆 (1)

2007~2016年上海颗粒物浓度特征与气候背景异同分析 ..... 郑庆锋, 史军, 谈建国, 段玉森, 林燕芬, 徐卫忠 (14)

夏季大气PM<sub>2.5</sub>中元素特征及源解析:以华中地区平顶山-随州-武汉为例 ..... 刘威杰, 石明明, 程敏, 黎荧, 朱戈昊, 邢新丽, 孔少飞, 张家泉, 祁士华 (23)

呼包鄂地区冬季、夏季PM<sub>2.5</sub>污染特征 ..... 李伊明, 刘佳媛, 史国良, 皇甫延琦, 张昕, 杨奕, 冯银厂 (31)

2019年元旦前后石家庄市重污染过程PM<sub>2.5</sub>污染特征及来源解析 ..... 周静博, 段菁春, 王建国, 杨鹏, 刘煥武, 李梅, 靳伟 (39)

基于模型模拟的成都市PM<sub>2.5</sub>污染来源解析 ..... 许艳玲, 易爱华, 薛文博 (50)

北京市PM<sub>2.5</sub>中砷污染特征 ..... 石绍萱, 杨艳蓉, 秦娟娟, 周雪明, 段菁春, 谭吉华, 陈荣志 (57)

夏秋季宁波市气态元素汞(GEM)污染特征及潜在源区贡献分析 ..... 易辉, 林佳梅, 蔡秋亮, 王克强, 陈进生, 佟磊, 李建荣, 肖航 (65)

安阳市大气PM<sub>2.5</sub>中水溶性离子季节特征及来源解析 ..... 孙有昌, 姜楠, 王申博, 段时光, 张瑞芹 (75)

新乡市夏冬季节PM<sub>2.5</sub>稳定碳同位素特征分析 ..... 闫广轩, 宋鑫, 张靖雯, 张朴真, 王力鹏, 张佳羽, 杨争, 曹治国, 樊静, 王跃思, 刘子锐 (82)

基于颗粒物化学组分粒径分布特征的源解析方法构建与评估 ..... 梁永莉, 田瑛泽, 刘童, 冯银厂 (90)

超低排放改造后燃煤电厂细颗粒物排放特征 ..... 王润芳, 马大卫, 姜少毅, 朱仁斌, 何军, 张本耀 (98)

京津冀地区城市臭氧污染趋势及原因探讨 ..... 余益军, 孟晓艳, 王振, 周崑, 于红霞 (106)

安阳市近地面臭氧污染特征及气象影响因素分析 ..... 杨健, 尹沙沙, 于世杰, 王丽娟, 张瑞芹, 郝建尤, 苏方成, 齐艳杰 (115)

长江三角洲2017年机动车IVOCs排放清单构建及其对SOA的生成影响 ..... 王倩, 黄凌, 王杨君, 殷司佳, 张琪, 易鑫, 李莉 (125)

华东典型城市非道路移动机械排气烟度 ..... 鲁君, 胡馨遥, 杨强, 唐伟, 夏阳, 井宝莉, 陈昫, 黄成 (133)

国内外储油库VOCs排放现状与标准分析 ..... 胡玮, 任碧琪, 黄玉虎, 秦建平, 卞吉玮, 吴清柱 (139)

四乙基愈创木酚液相·OH氧化SOA产率及特征分析:初始浓度的影响 ..... 庄雨, 陈彦彤, 李旭东, 马帅帅, 赵竹子, 叶招莲, 盖鑫磊 (146)

乌鞘岭南、北坡降水稳定同位素特征及水汽来源对比 ..... 徐秀婷, 贾文雄, 朱国锋, 马兴刚, 张昱, 袁瑞丰, 张志远, 石阳 (155)

长江源多年冻土区地下水氢氧稳定同位素特征及其影响因素 ..... 汪少勇, 何晓波, 丁永建, 常福宣, 吴锦奎, 胡召富, 王利辉, 杨贵森, 邓明珊 (166)

巴尔喀什湖流域水化学和同位素空间分布及环境特征 ..... 沈贝贝, 吴敬禄, 吉力力·阿不都外力, A. S. Saparov, Gulnura Isanova (173)

城市湖泊水环境整治对改善水质的影响:以蠡湖近30年水质变化为例 ..... 田伟, 杨周生, 邵克强, 潘辉, 胡洋, 白承荣, 姜星宇, 高光, 汤祥明 (183)

典型药物及个人护理品在黄东海海域水体中的检测、分布规律及其风险评估 ..... 陈贤, 张彩杰, 杨桂朋, 张婧, 刘梦 (194)

长江南京段水源水中有机磷酸酯的污染特征与风险评估 ..... 李栋, 张圣虎, 张芹, 王博, 卜元卿, 赵欣, 李辉, 宋宁慧, 郭瑞昕 (205)

雄安新区-白洋淀冬季冰封期水体溶解性有机物的空间分布、光谱特征及来源解析 ..... 周石磊, 孙悦, 张艺冉, 蒋永丰, 尹璐, 黄廷林, 李再兴, 罗晓, 战江, 王函 (213)

白洋淀表层沉积物元素的空间特征、风险评价及来源分析 ..... 汪敬忠, 刘卓, 魏浩, 吴玉会, 占水娥, 朱迟, 张益森 (224)

松花江表层沉积物PAEs分布特征及生态风险评估 ..... 王欢, 杨永哲, 王海燕, 董伟羊, 闫国凯, 常洋, 李泽文, 赵远哲, 凌宇 (232)

鄱阳湖湖口-长江段沉积物中微塑料与重金属污染物的赋存关系 ..... 李文华, 简敏菲, 刘淑丽, 江玉梅, 邓艳彬, 朱琳 (242)

臭氧对生物活性炭中微生物及出水消毒副产物的影响 ..... 刘宝明, 王夕希, 张晓夏, 顾艳芳, 李雨平, 阮文权, 缪恒锋, 潘杨 (253)

兰州市西固区儿童饮用水重金属暴露及健康风险精细化评估 ..... 陈月芳, 孙善伟, 段小丽, 许锦荣, 王娟, 康艺瑾, 梁为纲, 曹素珍 (262)

镁铁层状双金属氢氧化物对磷酸盐的吸附作用及对内源磷释放的控制效果及机制 ..... 吴俊麟, 林建伟, 詹艳慧, 程永前, 柏晓云, 辛慧敏, 常明玥 (273)

一硫代磷酸盐在介质上的吸附特征及机制 ..... 廖丹雪, 单慧媚, 彭三曦, 潘敖然, 黄健, 陈辉, 赵超然 (284)

酸碱复合改性海泡石亚结构特征及其对Cd(II)吸附性能 ..... 谢厦, 徐应明, 闫翠侠, 罗文文, 孙约兵 (293)

脱氮菌剂在低溶解氧黑臭水体中氮代谢特征 ..... 赵志瑞, 刘硕, 李铎, 李海萍, 李方红, 张佳瑶, 白志辉 (304)

宏基因组方法分析医药化工废水厂中抗生素耐药菌及抗性基因 ..... 陈红玲, 张兴桃, 王晴, 姚沛琳 (313)

淀粉废水处理系统中活性污泥的微生物群落结构及多样性分析 ..... 赵婷婷, 乔凯, 王蕾, 张伟, 竺建荣, 唐一, 胡滨, 王香莲, 杨静, 景在涛 (321)

基于SBR-ABR实现PN-SAD耦合工艺的运行与优化调控 ..... 陈重军, 张敏, 姜滢, 郭萌蕾, 谢嘉玮, 谢军祥, 沈耀良 (330)

基于间歇饥饿的SNAD工艺运行 ..... 李冬, 刘志诚, 徐贵达, 王玉颖, 张杰 (337)

反硝化-高效部分亚硝化-厌氧氨氧化工艺处理老龄垃圾渗滤液 ..... 陈小珍, 汪晓军, Karasuta Chayangkun, 周松伟, 钟中, 陈振国, 陈晓坤 (345)

硝化微颗粒污泥快速培养及其亚硝化功能快速实现 ..... 刘文如, 宋家俊, 王建芳, 沈耀良 (353)

高频曝停下曝时间对亚硝化颗粒污泥性能的影响 ..... 张杰, 劳会妹, 李冬, 魏子清 (360)

中国东北沈抚地区土壤中PBDEs的残留、来源及风险评估 ..... 向鑫鑫, 鲁垠涛, 阮起扬, 赖德, 孙绍斌, 姚宏, 张战胜 (368)

某焦化场地非均质包气带中多环芳烃(PAHs)来源及垂向分布特征 ..... 孟祥帅, 吴萌萌, 陈鸿汉, 岳希, 陶抒远 (377)

北京蔬菜地土壤中抗生素抗性基因与可移动元件的分布特征 ..... 张汝凤, 宋渊, 高浩泽, 程首涛, 孙艳梅, 王旭明 (385)

长期施肥和耕作下紫色土坡耕地土壤C、N、P和K化学计量特征 ..... 杜映妮, 李天阳, 何丙辉, 贺小容, 付适 (394)

亚热带稻田土壤碳氮磷生态化学计量学特征 ..... 宋佳龄, 盛浩, 周萍, 段良霞, 周清, 张杨珠 (403)

宛山荡农田土壤氮迁移过程反硝化与厌氧氨氧化 ..... 陈志浩, 覃云斌, 丁帮璟, 胡伏优, 陈伟, 李正魁 (412)

秸秆炭化还田对滴灌棉田土壤微生物代谢功能及细菌群落组成的影响 ..... 王晶, 马丽娟, 刘泽华, 闵伟, 侯振安 (420)

基于PMF模型的九龙江流域农田土壤重金属来源解析 ..... 黄华斌, 林承奇, 胡恭任, 于瑞莲, 郝春莉, 陈枫桦 (430)

塔里木盆地东南缘绿洲区土壤砷空间分布及农作物砷富集特征 ..... 陈云飞, 周金龙, 曾妍妍, 王松涛, 杜江岩, 孙英, 顾思博 (438)

广西典型碳酸盐岩区农田土壤-作物系统重金属生物有效性及迁移富集特征 ..... 马宏宏, 彭敏, 刘飞, 郭飞, 唐世琪, 刘秀金, 周亚龙, 杨柯, 李括, 杨峥, 成杭新 (449)

不同钝化剂对微碱性土壤镉、镍形态及小麦吸收的影响 ..... 张静静, 朱爽阁, 朱利楠, 柳海涛, 杨金康, 化党领 (460)

不同钝化剂对鸡粪堆肥重金属钝化效果及其腐熟度指标的影响 ..... 栾润宇, 高珊, 徐应明, 纪文凝, 闫翠侠, 孙约兵 (469)

黄土丘陵区退耕草地土壤呼吸及其组分对氮磷添加的响应 ..... 周俊杰, 陈志飞, 杨全, 赖帅彬, 王智, 徐炳成 (479)

炉渣与生物炭施加对福州平原水稻田温室气体排放的后续影响 ..... 蓝兴福, 王晓彤, 周雅心, 金强, 许旭萍, 王维奇 (489)

《环境科学》征订启事(89) 《环境科学》征稿简则(97) 信息(303, 329, 344)

# 黄土丘陵区退耕草地土壤呼吸及其组分对氮磷添加的响应

周俊杰<sup>1</sup>, 陈志飞<sup>1</sup>, 杨全<sup>2</sup>, 赖帅彬<sup>1</sup>, 王智<sup>1,2</sup>, 徐炳成<sup>1,2\*</sup>

(1. 西北农林科技大学水土保持研究所, 黄土高原土壤侵蚀与旱地农业国家重点实验室, 杨凌 712100; 2. 中国科学院水利部水土保持研究所, 杨凌 712100)

**摘要:** 为探究不同氮磷添加水平对黄土丘陵区退耕草地土壤呼吸及其组分的影响, 于2018年5~9月采用田间试验的方法, 设置3个施氮(以N计)主区[0、50和100 kg·(hm<sup>2</sup>·a)<sup>-1</sup>]和3个施磷(以P<sub>2</sub>O<sub>5</sub>计)副区[0、40和80 kg·(hm<sup>2</sup>·a)<sup>-1</sup>]. 测定每月各处理下土壤总呼吸和异养呼吸速率, 以及土壤温度和土壤含水量. 结果表明, 氮磷添加对土壤温度和土壤水分的影响均不显著( $P > 0.05$ ). 土壤呼吸速率具明显月份变化特征, 在7月达到峰值. 未施肥处理的月平均土壤总呼吸、异养呼吸和自养呼吸分别为0.69、0.39和0.29 g·(m<sup>2</sup>·h)<sup>-1</sup>. 未施氮条件下, 施磷对土壤呼吸及其组分无显著影响( $P > 0.05$ ). 施氮条件下, 磷添加显著提高土壤呼吸及其组分的呼吸速率( $P < 0.05$ ), 氮磷配施后月平均土壤总呼吸、异养呼吸和自养呼吸最大值分别为0.93、0.50和0.47 g·(m<sup>2</sup>·h)<sup>-1</sup>. 未施肥的土壤总呼吸、异养呼吸和自养呼吸的 $Q_{10}$ 值分别为1.86、2.36和2.24; 氮磷添加降低了土壤呼吸及其组分的 $Q_{10}$ 值. 总体上, 氮磷添加对黄土丘陵区退耕草地土壤呼吸及其组分的影响与施氮磷量有关.

**关键词:** 土壤呼吸; 自养呼吸; 异养呼吸; 氮磷添加; 温度敏感性

中图分类号: X144 文献标识码: A 文章编号: 0250-3301(2020)01-0479-10 DOI: 10.13227/j.hjxx.201906010

## Response of Soil Respiration and Its Components to Nitrogen and Phosphorus Addition in Farming-Withdrawn Grassland in the Semiarid Loess Hilly-Gully Region

ZHOU Jun-jie<sup>1</sup>, CHEN Zhi-fei<sup>1</sup>, YANG Quan<sup>2</sup>, LAI Shuai-bin<sup>1</sup>, WANG Zhi<sup>1,2</sup>, XU Bing-cheng<sup>1,2\*</sup>

(1. State Key Laboratory of Soil Erosion and Dryland Farming on the Loess Plateau, Institute of Soil and Water Conservation, Northwest A&F University, Yangling 712100, China; 2. Institute of Soil and Water Conservation, Chinese Academy of Sciences and Ministry of Water Resources, Yangling 712100, China)

**Abstract:** Understanding the soil respiration characteristics in response to nitrogen and phosphorus addition in farming-withdrawn grasslands within semi-arid loess hilly-gully regions is of great importance for providing a theoretical basis for evaluating the effects of artificial regulation approaches on carbon cycling. We report on a field experiment that was undertaken from May to September 2018 in a farming-withdrawn grassland ecosystem in China, which is dominated by *Stipa bungeana* and *Lespedeza davurica*. Three different levels of nitrogen and phosphorus additions were used, including three main plots of N [0, 50, and 100 kg·(hm<sup>2</sup>·a)<sup>-1</sup>] and three subplots of P (P<sub>2</sub>O<sub>5</sub>) [0, 40, and 80 kg·(hm<sup>2</sup>·a)<sup>-1</sup>]. The soil respiration rate, heterotrophic respiration rate, soil temperature, and soil moisture were measured monthly in each treatment. Results showed that N and P addition had no effect on soil temperature or moisture content ( $P > 0.05$ ). The soil respiration rate showed an obvious monthly variation and peaked in July. In the treatment without fertilizer addition, the monthly mean soil respiration rate, heterotrophic respiration rate, and autotrophic respiration rate were 0.69, 0.39, and 0.29 g·(m<sup>2</sup>·h)<sup>-1</sup>, respectively. P addition had no significant effect on the soil respiration rate and its components without N addition ( $P > 0.05$ ). Under conditions of N addition, P addition significantly increased the soil respiration rate and its component ( $P < 0.05$ ). The monthly mean soil respiration rate, heterotrophic respiration rate, and autotrophic respiration rate were 0.93, 0.50, and 0.47 g·(m<sup>2</sup>·h)<sup>-1</sup>, respectively. The  $Q_{10}$  (i. e., temperature sensitivity) values for soil respiration, heterotrophic respiration, and autotrophic respiration in unfertilized soil were 1.86, 2.36, and 2.24, respectively. The addition of N and P reduced the  $Q_{10}$  value of soil respiration and its components. Our findings suggest that the response of soil respiration and its two components to N and P addition in studied farming-withdrawn grassland in the semiarid loess hilly-gully region were closely related to their addition amounts.

**Key words:** soil respiration; autotrophic respiration; heterotrophic respiration; N and P addition; temperature sensitivity

土壤是陆地生态系统最大的碳库,其碳含量约是大气中的2~3倍,因此土壤碳库的微小变化会对陆地碳通量产生巨大影响<sup>[1]</sup>. 土壤呼吸(soil respiration,  $R_s$ )是大气和陆地生态系统中仅次于植物光合作用的第二大碳通量过程<sup>[1,2]</sup>, 主要由活根及其相关根际(即菌根和根际细菌)产生的自养呼吸(soil

autotrophic respiration,  $R_a$ )和土壤有机质经微生物分解产生的异养呼吸(soil heterotrophic respiration,  $R_h$ )

收稿日期: 2019-06-03; 修订日期: 2019-07-23

基金项目: 国家重点研发计划项目(2016YFC0501703)

作者简介: 周俊杰(1995~),男,硕士研究生,主要研究方向为水土保持植被, E-mail: zjj9598@126.com

\* 通信作者, E-mail: Bcxu@ms.iswc.ac.cn

组成<sup>[3,4]</sup>. 土壤呼吸是土壤碳库向大气输出碳的主要途径,也是大气 CO<sub>2</sub> 重要的源<sup>[2]</sup>,其大小不仅受降水、土壤温度、土壤含水量、土壤养分以及土壤理化性质等非生物因子的影响,也受植被类型、物种种类、凋落物和地上生物量大小等生物因子的影响<sup>[5,6]</sup>. 其中,土壤温度(soil temperature,  $T_s$ )<sup>[2,7]</sup>和土壤含水量(soil water content,  $W_s$ )<sup>[8~10]</sup>是最直接的影响因子. 土壤呼吸在植物生长季主要受土壤含水量的影响,而在非生长季土壤温度起主导作用<sup>[7]</sup>.

在土壤养分较亏缺的地区,施氮和磷肥可促进植物生长,从而提高生态系统固碳能力,也可以通过影响植物根系分泌物、土壤微生物活性和群落组成,以及土壤理化性质等来影响土壤呼吸,因而对土壤和大气间碳交换具有重要影响<sup>[11~13]</sup>. 关于施肥对土壤呼吸的影响已有很多研究,但具体影响仍存在争议,有认为施肥可显著促进土壤呼吸<sup>[14,15]</sup>,也有指出施肥会显著降低土壤呼吸<sup>[16,17]</sup>或者对土壤呼吸无显著影响<sup>[18]</sup>,这可能与地理位置、环境因子、植被特征和试验方法差异等有关. 外源氮添加能显著增加土壤无机氮库,加速硝化作用和 NO<sub>3</sub><sup>-</sup> 的淋溶作用,导致土壤 pH 值降低和土壤酸化等土壤性质改变,从而显著影响土壤微生物的群落结构和数量<sup>[16,19]</sup>. 磷添加可提高植物生长速率和增加土壤微生物生物量,通过增加土壤微生物活动,增加植物对土壤的碳输入<sup>[11,20]</sup>. 因此,氮磷添加对土壤呼吸的影响途径不同,有必要就独特条件下土壤呼吸对施肥的响应开展针对性研究<sup>[4,15]</sup>.

自工业革命以来,化石燃料和合成肥料的大量使用,加速了全球氮沉降,导致向陆地生态系统输入氮显著增加,对区域乃至全球氮循环产生了重要影响<sup>[21,22]</sup>. 草地碳贮量约占全球陆地生态系统总碳贮量的 1/3,草地碳交换对全球碳收支贡献显著<sup>[1,23]</sup>. 由于长期的粗放管理和严重的土壤侵蚀,半干旱黄土丘陵区土壤养分贫瘠,尤其是氮磷含量均偏低. 适当施氮虽有利于提高草地生态系统生产力和土壤碳储存能力,但不合理地人为氮磷添加可能会打破土壤养分含量的内在平衡关系,影响土壤功能和植物正常生长及生态效益<sup>[24]</sup>. 为此,本文选择黄土丘陵区退耕草地为研究对象,通过氮磷添加试验,分析退耕草地土壤呼吸及其组分对短期氮磷添加的响应特征,以期为该退耕草地的施肥调控管理及其环境效应评价提供依据和参考.

## 1 材料与方法

### 1.1 研究区概况

研究地点位于陕西省延安市安塞区纸坊沟流域

(109°13'46" ~ 109°16'03"E, 36°42'42" ~ 36°46'28" N),其是中国科学院安塞水土保持综合试验站水土保持与生态恢复长期研究试验示范流域. 流域面积 8.27 km<sup>2</sup>,海拔 1 000 ~ 1 400 m. 年均气温 8.8℃,无霜期 160 d 左右,平均降水量 529 mm,但分布不均,7~9 月降雨量占全年降雨量的 61.1%,且多暴雨. 该区在气候区划上属暖温带半湿润气候向半干旱气候过渡的地区,植被属于暖温带落叶阔叶林区向暖温带草原区过渡的森林草原带. 经过几十年的综合治理,流域植被恢复良好. 天然草地主要为灌木草丛、干旱草原及低湿草甸等;典型地带性草本植物有白羊草(*Bothriochloa ischaemum*)、达乌里胡枝子(*Lespedeza davurica*)、铁杆蒿(*Artemisia gmelinii*)、长芒草(*Stipa bungeana*)和芨芨蒿(*Artemisia giraldii*)等. 土壤类型为黄绵土,土壤 0~10 cm 处土壤容重为 1.18 g·cm<sup>-3</sup>,pH 值为 8.51,有机质含量 11.1 g·kg<sup>-1</sup>,全氮含量 0.94 g·kg<sup>-1</sup>,全磷含量 0.61 g·kg<sup>-1</sup>.

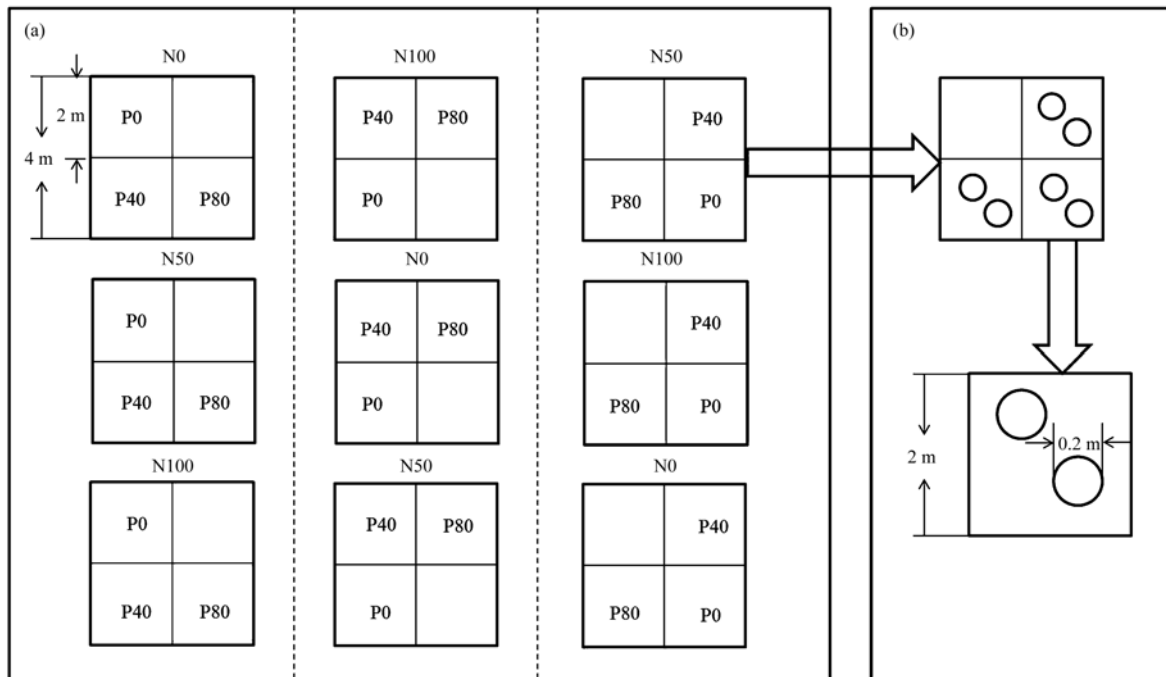
## 1.2 研究方法

### 1.2.1 试验设计

选择以达乌里胡枝子和长芒草为优势种的退耕草地为试验样地,坡度为 15°,坡向为东偏南 21°. 为防止干扰,将样地围成一个 20 m × 30 m 的试验区. 采用裂区试验设计,分别在样地沿坡面设置 3 个 5 m × 15 m 的区组,区组间走道为 1 m,每个区组沿坡面设置 3 个 4 m × 4 m 的主区,主区间由 1 m 宽的未施肥缓冲区隔开,每个主区再划分为 4 个 2 m × 2 m 的副区. 氮肥处理为主区,选其中 3 个副区进行施磷处理. 根据黄土丘陵区年平均氮沉降量[以 N 计,下同, 21.76 kg·(hm<sup>2</sup>·a)<sup>-1</sup>]<sup>[25]</sup>,本研究设置约 2 倍和 4 倍的年均氮沉降水平,即 N50 [50 kg·(hm<sup>2</sup>·a)<sup>-1</sup>]和 N100 [100 kg·(hm<sup>2</sup>·a)<sup>-1</sup>]. 参考刘海威等<sup>[26]</sup>在纸坊沟流域退耕草地的施磷标准[以 P<sub>2</sub>O<sub>5</sub> 计,下同, 32.55 kg·(hm<sup>2</sup>·a)<sup>-1</sup>],本研究设置约一倍和两倍的年施磷水平,即 P40 [40 kg·(hm<sup>2</sup>·a)<sup>-1</sup>]和 P80 [80 kg·(hm<sup>2</sup>·a)<sup>-1</sup>]. 3 个 N 添加分别为 N0 (不施 N)、N50 [50 kg·(hm<sup>2</sup>·a)<sup>-1</sup>]和 N100 [100 kg·(hm<sup>2</sup>·a)<sup>-1</sup>],3 个 P 添加分别为 P0 (不施 P)、P40 [40 kg·(hm<sup>2</sup>·a)<sup>-1</sup>]和 P80 [80 kg·(hm<sup>2</sup>·a)<sup>-1</sup>],NOPO 为对照,试验布设如图 1(a)所示. 氮肥为硝酸铵钙 [5Ca(NO<sub>3</sub>)<sub>2</sub>·NH<sub>4</sub>NO<sub>3</sub>·10H<sub>2</sub>O],磷肥为重过磷酸钙 [Ca(H<sub>2</sub>PO<sub>4</sub>)<sub>2</sub>·H<sub>2</sub>O]. 肥料分别于 2017 年 6 月 4 日和 2018 年 5 月 21 日雨前均匀撒入地表. 在距离研究场地 20 km 的中国科学院安塞水土保持研究站气象站,记录了气温和降雨量.

本试验于2018年4月20日布置. 在每个2 m × 2 m 样方中随机放置2个直径20 cm的PVC管, 两根PVC管间距约50 cm, 分别用于测量土壤总呼吸( $R_s$ )和土壤微生物呼吸( $R_h$ ) [图1(b)]. 测定土壤总呼吸的PVC管高度为10 cm, 嵌入土壤7 cm; 测定土壤异养呼吸的PVC管高50 cm, 嵌入土壤45

cm. 为准确测定土壤异养呼吸速率, 将PVC管沿周长四等分, 在管壁四周5~50 cm处钻孔, 钻孔由距管口5 cm处开始, 沿管壁从上到下每隔10 cm钻孔, 便于环内外土壤水分和养分交换且隔绝根系进入, 在孔上覆盖100 μm尼龙网膜<sup>[4,12]</sup>. 试验期间不定期清理异养呼吸测定PVC管内活体植物.



(a) N、P 添加处理组合分布; (b) PVC 环布置示意

图1 退耕草地氮磷添加试验设计示意

Fig. 1 Experimental design of nitrogen and phosphorus addition in farming-withdrawn grassland

### 1.2.2 测定项目和方法

本试验采用美国 PP System 公司生产 EGM-4 便携式 CO<sub>2</sub> 分析仪测定土壤呼吸速率, 测定前一天将基座内植物齐地剪除, 测定时尽量不扰动土壤和枯落物. 测定时使用一个 20 cm 转 10 cm 的 PVC 异径直接管连接基座与土壤呼吸仪, 重复 3 次. 样地布置一月后, 开始对土壤呼吸速率、土壤温度和土壤含水量进行测定. 选择晴朗天气的上午 09:00~11:00 进行土壤呼吸速率和异养呼吸速率的测定, 该时段土壤呼吸速率可代表全天平均呼吸速率<sup>[10]</sup>. 本试验测定期间, 一个 PVC 环测定时间约 2 min, 所有处理在 2 h 之内完成测定. 测定于 5~9 月每月中下旬进行, 第一次测定在 5 月 26 日. 测定期间如遇降雨事件, 测定在雨后第 4 d 进行<sup>[14]</sup>. 在测定土壤呼吸速率的同时, 分别采用 TP 101 地温计(衡水市创新仪器仪表有限公司, 精度 ±1℃) 和美国 Spectrum TDR 100 便携式水分测定仪测定各小区内 5 cm 处土壤温度和土壤体积含水量.

### 1.3 数据处理

以当日上午 09:00~11:00 测定土壤呼吸速率

代表当日的土壤呼吸速率平均值, 以当日呼吸速率平均值作为该月土壤呼吸速率的平均值<sup>[27]</sup>. 以每日测得的土壤呼吸速率均值计算日土壤呼吸通量、月土壤呼吸通量以及生长季 5~9 月的土壤呼吸通量 [以 CO<sub>2</sub> 计, g·m<sup>-2</sup>]<sup>[28]</sup>. 采用 SPSS 20.0 软件对数据进行统计分析, 采用多因素方差分析 (Three-way ANOVA) 检验测定: 月份、氮和磷添加处理对土壤呼吸及其组分、土壤温度和土壤含水量的影响, 采用单因素方差分析 (One-way ANOVA) 和最小显著差异法 (LSD) 检验各氮磷添加间土壤呼吸速率、土壤温度和水分差异 ( $P=0.05$ ). 用 SigmaPlot 12.5 软件绘图.

土壤呼吸及其组分速率与土壤温度的关系采用指数模型进行拟合:

$$R_s = ae^{bT_s}$$

式中,  $R_s$  为土壤呼吸速率 [以 CO<sub>2</sub> 计, g·(m<sup>2</sup>·h)<sup>-1</sup>],  $T_s$  为 5 cm 处土壤温度 (°C),  $a$  为基础土壤呼吸速率 [以 CO<sub>2</sub> 计, g·(m<sup>2</sup>·h)<sup>-1</sup>],  $b$  为土壤呼吸温度敏感性的参数.

土壤温度敏感性系数:

$$Q_{10} = e^{10b}$$

式中,  $Q_{10}$  为土壤呼吸温度敏感性系数, 表示土壤温度每升高 10℃ 时土壤呼吸速率所增加的倍数,  $b$  为土壤呼吸温度敏感性的参数.

## 2 结果与分析

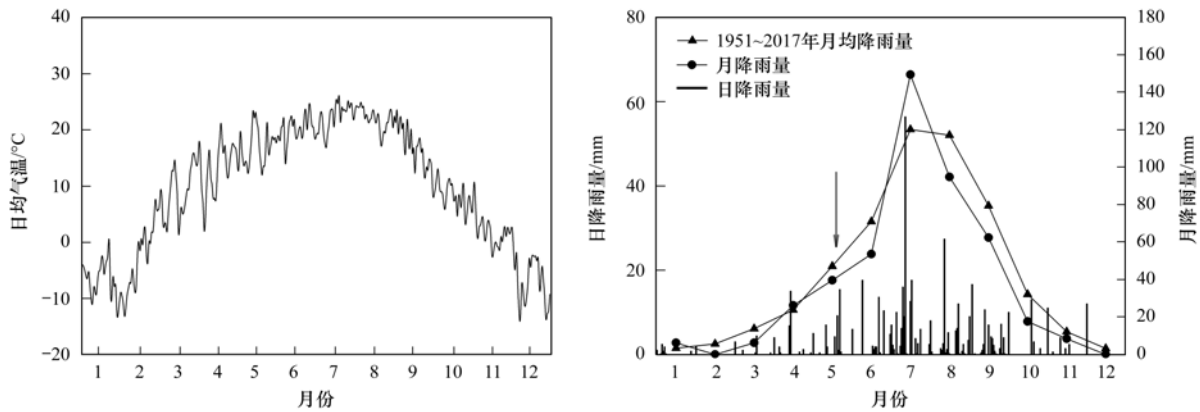
### 2.1 环境因子

2018 年 5~9 月的日气温为 11.5~26.0℃, 呈单峰曲线变化, 最高值出现在 8 月, 最低出现在 5 月 (图 2). 2018 全年降雨量为 464.4 mm, 低于 1951~2017 年间年均降雨量 (528.8 mm). 2018 年 5~9 月

降雨量为 399.8 mm, 低于多年平均 (434.8 mm). 除 7 月降雨量高于多年平均外, 其他月降雨量分配比例与 1951~2017 年间相似 (图 2).

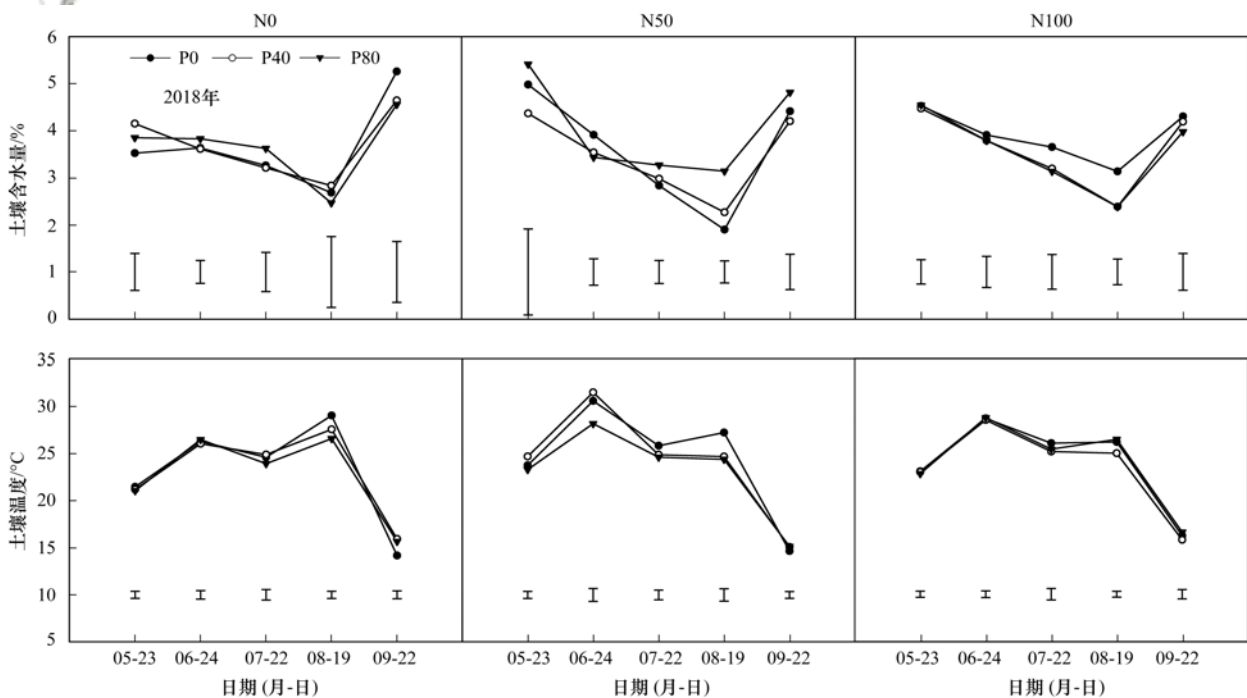
2018 年 5~9 月土壤含水量 (体积分数) 为 2.4%~5.5%, 随月份呈先降低后升高趋势, 最低值出现在 8 月 (图 3). 土壤温度的范围是 14.1~31.5℃, 呈双峰型的月变化特征, 其中 6 月和 8 月高于其它月 (图 3).

土壤温度和土壤含水量的月变化差异明显, 除氮添加对土壤温度的影响显著外, 月份、氮和磷添加对土壤温度和土壤含水量的交互作用均不显著 (表 1).



箭头表示氮磷添加日期  
图 2 2018 年试验地日平均温度、日降雨量、月降雨量和 1951~2017 年月平均降雨量

Fig. 2 Mean daily temperature, daily and monthly precipitation in 2018, and mean monthly precipitation from 1951 to 2017 at the experimental site



误差线表示各施氮处理间的 LSD 值差异 ( $P < 0.05$ )

图 3 不同氮磷添加处理下土壤温度和土壤水分含量月变化

Fig. 3 Monthly changes of soil temperature and soil moisture content under different nitrogen and phosphorus addition treatments

表 1 月份、氮和磷添加对土壤温度 ( $T_s$ ) 和土壤含水量 ( $W_s$ ) 的影响<sup>1)</sup>Table 1 Effects of month, nitrogen, and phosphorus on soil temperature ( $T_s$ ) and soil moisture content ( $W_s$ )

因素	df	土壤温度/°C		土壤含水量/%	
		<i>F</i>	<i>P</i>	<i>F</i>	<i>P</i>
月份 (M)	4	70.18	<0.001	25.40	<0.001
氮添加 (NT)	2	3.25	0.043	0.59	ns
磷添加 (PT)	2	0.43	ns	0.34	ns
月份 × 氮添加 (M × NT)	8	0.72	ns	2.00	ns
月份 × 磷添加 (M × PT)	8	0.08	ns	0.38	ns
氮添加 × 磷添加 (NT × PT)	4	0.05	ns	0.64	ns
月份 × 氮添加 × 磷添加 (M × NT × PT)	16	0.13	ns	0.21	ns

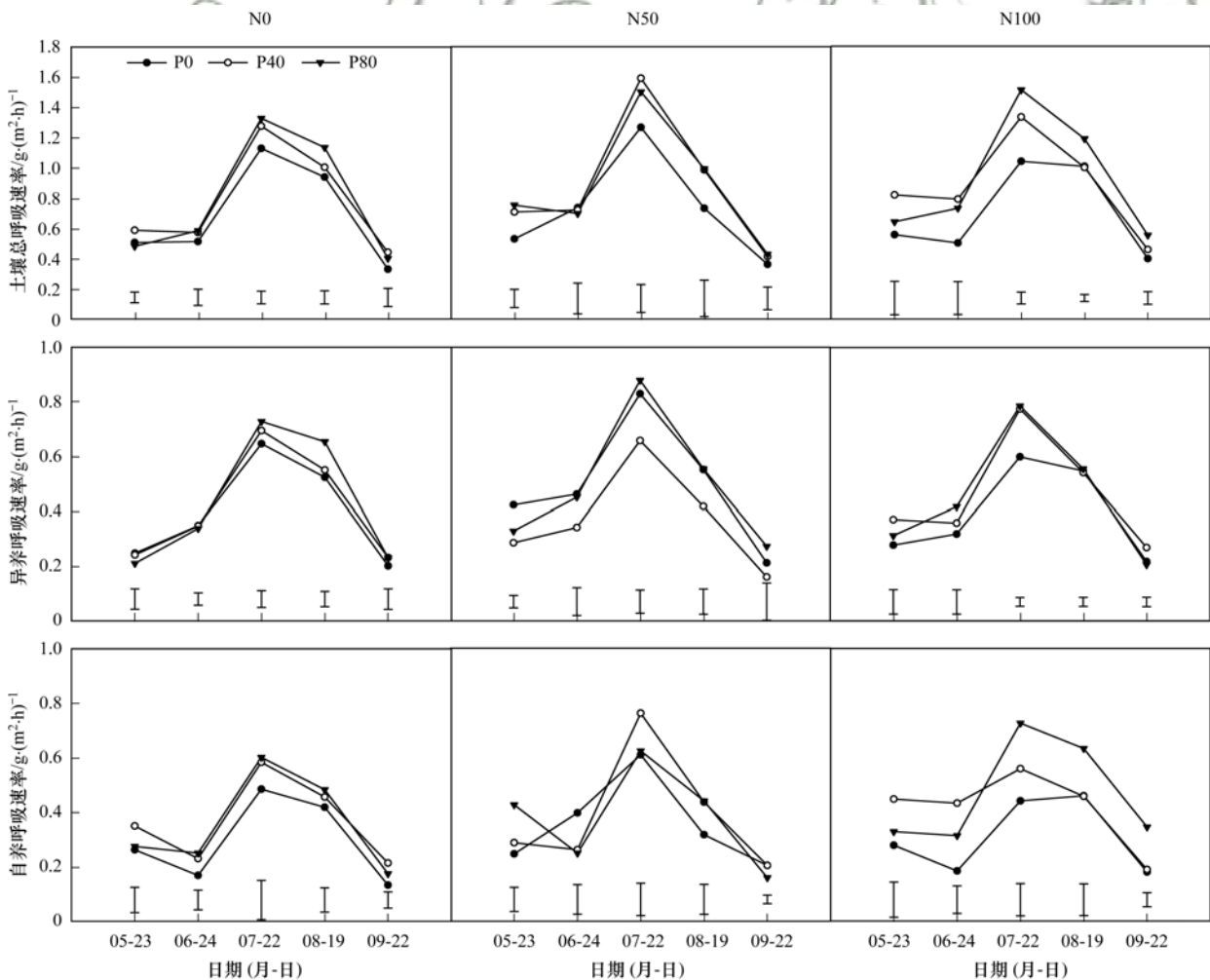
1) ns 表示无显著影响, *F* 表示方差分析的统计量, 下同

## 2.2 氮磷添加对土壤呼吸速率及其组分的影响

各处理下, 土壤总呼吸速率及其组分月变化呈单峰曲线, 峰值均出现在 7 月, 最小值在 9 月 (图 4). 在研究期间, 施氮 (N50 和 N100) 的土壤总呼吸速率均显著大于不施氮 (N0) ( $P < 0.05$ ). 施氮和磷均显著影响草地生态系统土壤呼吸速率及其组分, 二者交互作用对土壤呼吸及其组分也有显著影响 (表 2). 未施肥处理的月平均土壤总呼吸速率、异

养呼吸速率和自养呼吸速率分别为  $0.69$ 、 $0.39$  和  $0.29 \text{ g} \cdot (\text{m}^2 \cdot \text{h})^{-1}$ , 在生长季中期的 7 月达到最大值 [ $1.13 \text{ g} \cdot (\text{m}^2 \cdot \text{h})^{-1}$ ], 在生长季末期的 9 月土壤呼吸速率较低 [ $0.34 \text{ g} \cdot (\text{m}^2 \cdot \text{h})^{-1}$ ].

施肥对土壤总呼吸、异养呼吸和自养呼吸速率均有影响, 但各处理对土壤呼吸组分间影响不一致 (图 4). N0 条件下, 5 月 P40 处理的土壤总呼吸速率显著大于 P0 和 P80 处理; 而各磷处理间异养呼吸



误差线表示各施氮处理间的 LSD 值差异 ( $P < 0.05$ )

图 4 不同氮磷添加处理下土壤呼吸速率及其组分月变化

Fig. 4 Monthly changes in the soil respiration rate and its components under different nitrogen and phosphorus addition treatments

表 2 月份、氮和磷添加对土壤呼吸速率( $R_s$ )、异养呼吸速率( $R_h$ )和自养呼吸速率( $R_a$ )的影响Table 2 Effects of month, nitrogen and phosphorus on the soil respiration rate ( $R_s$ ), heterotrophic respiration rate ( $R_h$ ), and autotrophic respiration rate ( $R_a$ )

因素	df	rate ( $R_h$ ), and autotrophic respiration rate ( $R_a$ )					
		土壤呼吸速率/ $g \cdot (m^2 \cdot h)^{-1}$		异养呼吸速率/ $g \cdot (m^2 \cdot h)^{-1}$		自养呼吸速率/ $g \cdot (m^2 \cdot h)^{-1}$	
		F	P	F	P	F	P
月份(M)	4	636.03	<0.001	784.70	<0.001	101.67	<0.001
氮添加(NT)	2	20.34	<0.001	18.55	<0.001	6.00	0.004
磷添加(PT)	2	62.55	<0.001	17.51	<0.001	13.90	<0.001
月份×氮添加(M×NT)	8	9.37	<0.001	10.23	<0.001	2.41	0.021
月份×磷添加(M×PT)	8	5.26	<0.001	5.30	<0.001	1.22	ns
氮添加×磷添加(NT×PT)	4	2.95	0.024	27.39	<0.001	2.83	0.029
月份×氮添加×磷添加(M×NT×PT)	16	3.03	<0.001	2.86	0.001	2.68	0.002

和自养呼吸均无显著差异;6~8月P80处理的自养呼吸显著大于P0处理( $P < 0.05$ ),而土壤总呼吸和异养呼吸仅7月和8月间存在显著差异;9月各磷处理间土壤呼吸及其组分差异均不显著.N50条件下,5~8月P80处理的土壤总呼吸和异养呼吸显著大于P0处理( $P < 0.05$ ).N100条件下,5月和6月P40处理的土壤总呼吸显著大于P0,7~9月P80处理的显著大于P0处理( $P < 0.05$ );自养呼吸的变化与土壤总呼吸相似;5月和9月P40处理的异养呼吸是显著大于P0处理,6月和7月P80显著大于P0处理,8月所有施磷处理间无显著差异.

氮磷配施土壤总呼吸及其组分均大于对应的单施氮或施磷处理.除N100P0处理外,在相同施氮条件下,土壤总呼吸及其组分随施磷量的增加而增加.不同氮磷添加处理下,土壤异养呼吸速率( $R_h$ )在总呼吸速率( $R_s$ )中的占比不同.NOPO处理下, $R_h$ 平均占比为57.7%.未施氮(NO)条件下,P40和P80处理的 $R_h$ 占比分别为52.3%和53.9%;N50水平下,P0、P40和P80处理的 $R_h$ 占比分别为51.1%、56.8%和57.4%;N100水平下,P0、P40和P80处理的 $R_h$ 占比分别是56.4%、52.6%和48.8%(图4).

表 3 不同氮磷添加下土壤呼吸速率( $R_s$ )、异养呼吸速率( $R_h$ )和自养呼吸速率( $R_a$ )与土壤温度( $T_s$ )间拟合关系Table 3 Fitting relationship between soil respiration rate ( $R_s$ ), heterotrophic respiration rate ( $R_h$ ), and autotrophic respiration rate ( $R_a$ ) and soil temperature ( $T_s$ ) under different nitrogen and phosphorus additions

施肥处理	土壤总呼吸速率/ $g \cdot (m^2 \cdot h)^{-1}$				异养呼吸速率/ $g \cdot (m^2 \cdot h)^{-1}$				自养呼吸速率/ $g \cdot (m^2 \cdot h)^{-1}$				
	回归方程	$R^2$	P	$Q_{10}$	回归方程	$R^2$	P	$Q_{10}$	回归方程	$R^2$	P	$Q_{10}$	
NO	P0	$R_s = 0.127e^{0.062T_s}$	0.68	<0.001	1.86	$R_h = 0.062e^{0.086T_s}$	0.46	0.022	2.36	$R_a = 0.046e^{0.081T_s}$	0.43	0.023	2.24
	P40	$R_s = 0.234e^{0.043T_s}$	0.48	0.006	1.58	$R_h = 0.065e^{0.083T_s}$	0.55	0.004	2.29	$R_a = 0.075e^{0.073T_s}$	0.52	0.008	2.07
	P80	$R_s = 0.117e^{0.070T_s}$	0.56	0.002	1.82	$R_h = 0.058e^{0.091T_s}$	0.53	0.005	2.48	$R_a = 0.065e^{0.076T_s}$	0.44	0.034	2.14
N50	P0	$R_s = 0.167e^{0.055T_s}$	0.59	0.001	1.73	$R_h = 0.065e^{0.072T_s}$	0.60	0.001	2.05	$R_a = 0.062e^{0.075T_s}$	0.61	0.014	2.11
	P40	$R_s = 0.245e^{0.047T_s}$	0.45	0.013	1.48	$R_h = 0.091e^{0.073T_s}$	0.58	0.003	2.08	$R_a = 0.048e^{0.095T_s}$	0.66	0.010	2.59
	P80	$R_s = 0.246e^{0.049T_s}$	0.50	0.003	1.63	$R_h = 0.084e^{0.079T_s}$	0.56	0.003	2.20	$R_a = 0.046e^{0.093T_s}$	0.62	0.006	2.54
N100	P0	$R_s = 0.182e^{0.054T_s}$	0.51	0.006	1.46	$R_h = 0.093e^{0.059T_s}$	0.48	0.006	1.80	$R_a = 0.072e^{0.062T_s}$	0.48	0.014	1.86
	P40	$R_s = 0.242e^{0.051T_s}$	0.54	0.002	1.67	$R_h = 0.088e^{0.073T_s}$	0.64	0.002	2.08	$R_a = 0.091e^{0.063T_s}$	0.53	0.023	1.87
	P80	$R_s = 0.212e^{0.061T_s}$	0.52	0.008	1.44	$R_h = 0.075e^{0.078T_s}$	0.54	0.007	2.18	$R_a = 0.126e^{0.060T_s}$	0.45	0.014	1.83

土壤温度解释土壤异养呼吸变化的46%~64%(表3).NO条件下,P0、P40和P80处理的土壤异养

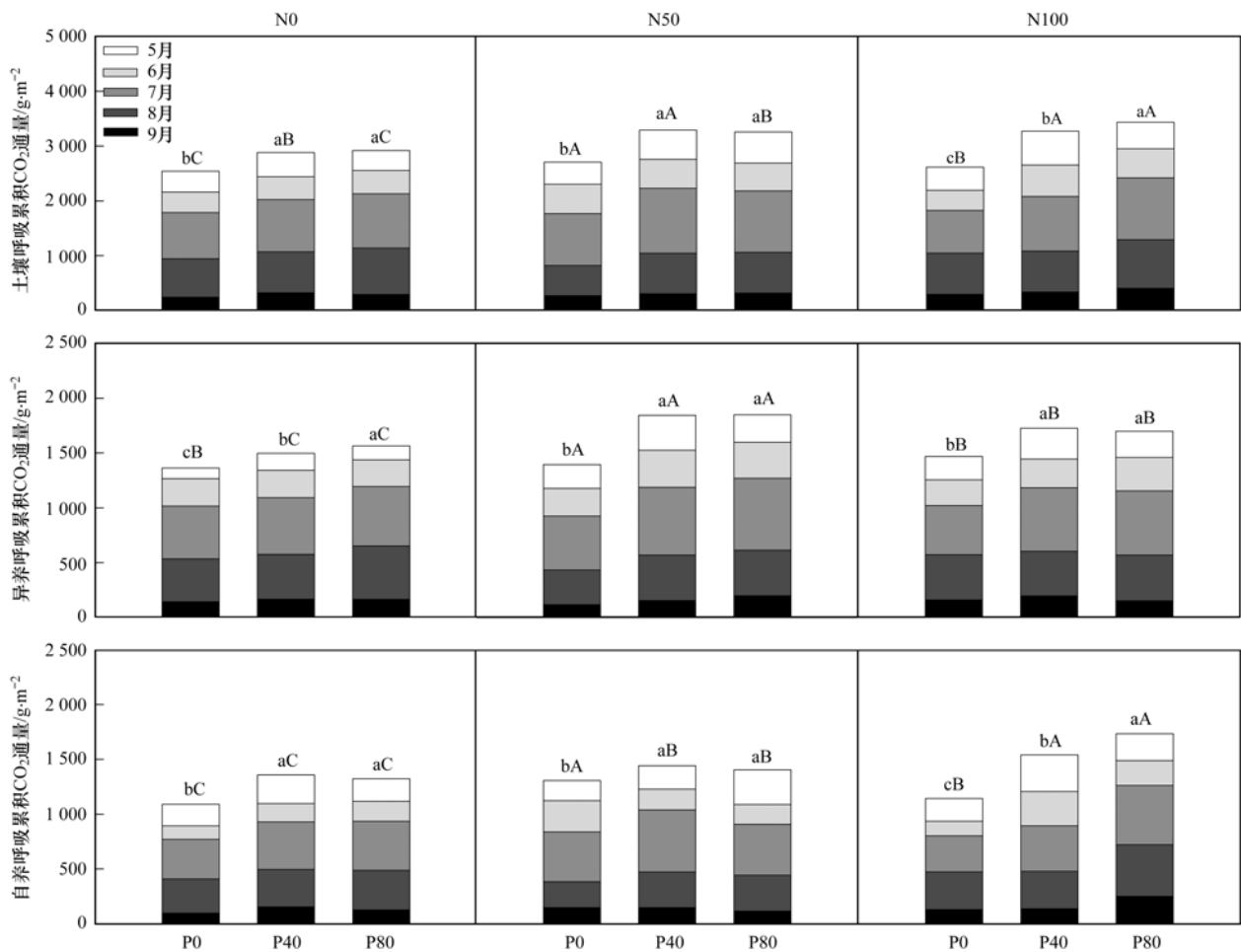
### 2.3 氮磷添加对土壤呼吸累积CO<sub>2</sub>通量的影响

N50和N100条件下,生长季的土壤总呼吸及其组分通量均显著大于N0条件( $P < 0.05$ ).氮磷添加处理后,土壤总呼吸、异养呼吸和自养呼吸通量生长季最大值的处理分别为:N100P80(3433.32  $g \cdot m^{-2}$ )、N50P40(1850.29  $g \cdot m^{-2}$ )和N100P80(1732.40  $g \cdot m^{-2}$ );最小通量值的处理分别为NOPO(2540.36  $g \cdot m^{-2}$ )、N50P0(1398.75  $g \cdot m^{-2}$ )和NOPO(1086.49  $g \cdot m^{-2}$ ).在5~9月期间,土壤异养呼吸和自养呼吸通量分别占土壤总呼吸通量的49.5%~57.2%和42.8%~50.5%.在5~9月中,各处理的土壤呼吸及其组分通量均在7月占比最大,为27.0%~39.3%(图5).

### 2.4 土壤呼吸及其组分与土壤温度的关系

土壤总呼吸、异养呼吸和自养呼吸与土壤温度呈显著正相关关系,指数模型模拟结果显示,土壤温度可解释土壤总呼吸变化的44%~68%(表3).NO条件下,P0、P40和P80处理的 $Q_{10}$ 值分别为1.86、1.58和1.82;N50条件下,P0、P40和P80处理的 $Q_{10}$ 值分别为1.73、1.48和1.63;N100条件下,P0、P40和P80处理的 $Q_{10}$ 值分别为1.46、1.67和1.44(表3).

呼吸 $Q_{10}$ 值分别为2.36、2.29和2.48;N50条件下,P0、P40和P80处理的土壤异养呼吸 $Q_{10}$ 值分别为



不同大写字母表示施氮处理间差异显著,不同小写字母表示施磷处理间差异显著

图5 不同氮磷添加处理下土壤呼吸及其组分累积  $\text{CO}_2$  通量

Fig. 5 Cumulative  $\text{CO}_2$  fluxes of soil respiration and its components under different nitrogen and phosphorus addition treatments

2.05、2.08和2.20; N100条件下, P0、P40和P80处理的土壤异养呼吸  $Q_{10}$  值分别为1.80、2.08和2.18。同一施P处理下, N100水平下土壤异养呼吸的  $Q_{10}$  值低于N0和N50。

土壤温度解释土壤自养呼吸变化的50%~58% (表3)。N0条件下, P0、P40和P80处理的土壤自养呼吸  $Q_{10}$  值分别为2.24、2.07和2.14; N50条件下, P0、P40和P80处理的土壤自养呼吸  $Q_{10}$  值分别为2.11、2.59和2.54; N100条件下, P0、P40和P80处理的土壤自养呼吸  $Q_{10}$  值分别为1.86、1.87和1.83。同一施P处理下, N100水平下土壤自养呼吸的  $Q_{10}$  值显著低于N0和N50。

### 3 讨论

#### 3.1 氮磷添加对土壤呼吸速率及其组分的影响

土壤呼吸主要受土壤温度、土壤水分有效性和基质供应等影响<sup>[9,13,29]</sup>。氮添加通过改变土壤呼吸的温度敏感性、土壤水分有效性或土壤碳的供应(如地下生物量和凋落物投入)影响土壤呼

吸<sup>[4,30,31]</sup>。本研究中结果明确显示,氮添加后退耕草地各月份的土壤呼吸总量均显著增加(图5),与其他植被生态系统的研究结果一致<sup>[14,30,31]</sup>。氮添加对土壤呼吸的影响取决于自养呼吸和异养呼吸对氮添加的响应<sup>[4]</sup>。植物生长和微生物活性普遍受氮的限制,但植物对土壤无机氮的捕捉能力远远强于土壤微生物<sup>[11]</sup>。与不施氮磷(N0P0)相比,施氮处理下(N50P0和N100P0)土壤呼吸速率分别提高了17.5%和13.4%,异养呼吸速率分别提高了19.3%和22.1%,自养呼吸速率分别提高了44.2%和25.8%。随着氮添加,氮素利用率的增加导致植物生长、微生物活性和植物生物量的增加<sup>[4,14]</sup>。氮添加提高土壤呼吸及其组分速率的原因可能是因为氮添加促进了植物根系的生长,土壤自养呼吸速率增加,同时根系生物量的增加也导致根系分泌物增加,为微生物提供更多的底物供应,提高微生物的数量和活性,进而增加土壤异养呼吸速率<sup>[31]</sup>。氮添加后会提高植物初级生产力以及凋落物量,为根系和土壤微生物活动提供更多的碳底物供应<sup>[30,32]</sup>。在氮限制

生态系统中,土壤有效氮的增加会刺激根系生长,其中细根生物量的数量和自养呼吸显著相关,氮添加后细根生物量的迅速增加有利于促进自养呼吸<sup>[14]</sup>. 异养呼吸主要取决于土壤基质的质量和数量、细胞外酶活性、土壤温度和湿度,以及微生物的生物量和活性<sup>[33]</sup>. 因此,氮添加通过提高土壤氮有效性进而增加微生物数量和活性以及植物根系生长,同时促进异养呼吸和自养呼吸,进而提高土壤总呼吸速率<sup>[14,33]</sup>.

虽然研究土壤呼吸对磷添加的响应要比氮添加少,但有研究认为磷添加对土壤呼吸具有明显效应<sup>[13,34]</sup>. 本研究结果表明,磷添加对黄土丘陵退耕草地土壤呼吸速率的影响与氮添加类似,土壤异养呼吸和自养呼吸对磷添加均呈现积极响应(图4). 由于长期的严重土壤侵蚀和缺乏抚育管理,黄土丘陵区退耕草地植物生长受到氮磷共同限制,因此,施氮和氮磷配施后地上生物量均显著增加,且氮磷配施的地上生物量增量大于单独施氮<sup>[26]</sup>. Wang等<sup>[13]</sup>的研究指出,磷添加会提高黄土高原植物地上和地下生物量. 由于磷在所有物理过程中,尤其是核酸合成、膜合成、能量生成和酶活化或失活过程中所起的重要作用,在磷添加之后,根系和微生物可以通过吸收更多磷素用于根系生长和微生物繁殖,进而维持较高的呼吸作用<sup>[4]</sup>. 因此,磷素添加后,根系尤其是细根生物量的提高会促进自养呼吸,增加微生物的碳底物和减少微生物的磷限制,可促进微生物生长而促进异养呼吸<sup>[4,20,35]</sup>.

在陆地生态系统中,大气氮、磷沉降的不平衡输入会加剧系统的磷限制<sup>[26]</sup>. 在半干旱黄土丘陵区,土壤磷素有效性低且长期无投入,因此单施氮并不能解除该地区的土壤养分平衡限制. 氮磷配施土壤呼吸及其组分累积 CO<sub>2</sub> 通量显著高于单施氮或单施磷(图5)<sup>[13]</sup>. 氮磷配施后土壤微生物碳、土壤有机质、土壤磷有效性的提高和植物光合速率的增强,有利于提高根系氮吸收和光合产物的地下分配,促进植物地上和地下部分的生长,均有利于促进土壤呼吸<sup>[11,13,26,36]</sup>. 本研究中,同一施氮条件下,随磷添加量的提高土壤总呼吸及其组分均增加,但在不同氮磷配比情况下,如土壤呼吸和自养呼吸在 N50P40 处理下达到最大值,而异养呼吸在 N50P80 处理达到最大值,说明氮磷配施有利于加速草地群落土壤碳循环,但对土壤呼吸及其组分的影响与氮磷供应水平有关(图4).

### 3.2 氮磷添加对土壤呼吸及其组分温度敏感性的影响

土壤温度是影响土壤呼吸及其组分变化的重要

因素<sup>[13]</sup>. 本研究中,不同氮磷添加处理下的土壤呼吸及其组分均与土壤温度呈指数关系(表3)<sup>[12,28]</sup>. 与不施肥相比,氮添加和氮磷配施的  $Q_{10}$  值均下降,说明施氮会降低土壤呼吸对土壤温度变化的敏感性(表3). 姜继韶等<sup>[37]</sup>在研究黄土旱塬区施肥对春玉米土壤呼吸影响时也发现,施氮显著降低了  $Q_{10}$  值,降幅为 20% 左右. 氮磷添加后土壤呼吸和异养呼吸的  $Q_{10}$  值也降低,可能是由于土壤温度升高和土壤干旱导致根系和微生物活性降低,以及土壤微生物群落结构发生变化<sup>[13,14]</sup>. 土壤自养呼吸和异养呼吸的  $Q_{10}$  值都高于土壤总呼吸,其原因可能是因为土壤呼吸组分本身对温度敏感程度的内在差异以及各自所占的比例差异导致的<sup>[38]</sup>. 本试验中各处理对土壤温度和土壤含水量均无显著影响( $P > 0.05$ ,图3). 因此,土壤呼吸和异养呼吸的温度敏感性的降低是由于氮磷添加,不是由土壤干旱和土壤温度升高引起的. 微生物对土壤养分有效性改善或植物凋落物质量的增加可能是导致  $Q_{10}$  下降的重要原因<sup>[36]</sup>. 本研究中改变土壤呼吸温度敏感性的原因可能是氮磷添加影响土壤底物质量<sup>[37]</sup>,降低了土壤自养呼吸和异养呼吸的温度敏感性,从而改变土壤总呼吸温度敏感性.

## 4 结论

(1) 氮磷添加显著提高了黄土丘陵区退耕草地土壤总呼吸及其组分的速率,其中氮磷同时添加比单独添加氮或磷的效应更明显.

(2) 氮磷添加下草地群落土壤呼吸及其组分显示出明显的月变化特征,其中 N100 [ 100 kg·(hm<sup>2</sup>·a)<sup>-1</sup> ] 和 P80 [ 80 kg·(hm<sup>2</sup>·a)<sup>-1</sup> ] 配施处理下的平均土壤总呼吸和自养呼吸最大, N50 [ 50 kg·(hm<sup>2</sup>·a)<sup>-1</sup> ] 和 P40 [ 40 kg·(hm<sup>2</sup>·a)<sup>-1</sup> ] 配施处理下的平均异养呼吸最大.

(3) 与未施肥相比,氮磷添加处理后草地群落土壤总呼吸和异养呼吸的温度敏感性 ( $Q_{10}$  值) 均下降. 氮磷添加会增加黄土丘陵区退耕草地碳排放通量,其大小与氮磷添加的量及氮磷配比有关.

(4) 综上所述,黄土丘陵区退耕草地土壤总呼吸及其组分的速率主要受氮磷浓度的影响,随着氮磷添加浓度的改变,土壤呼吸及其组分的速率和温度敏感性系数也会随之改变.

### 参考文献:

- [ 1 ] Bond-Lamberty B, Thomson A. A global database of soil respiration data[J]. Biogeosciences, 2010, 7(6): 1915-1926.
- [ 2 ] Raich J W, Schlesinger W H. The global carbon dioxide flux in soil respiration and its relationship to vegetation and climate[J]. Tellus B: Chemical and Physical Meteorology, 1992, 44(2):

- 81-99.
- [ 3 ] Högborg P, Bhupinderpal-Singh, Löfvenius M O, *et al.* Partitioning of soil respiration into its autotrophic and heterotrophic components by means of tree-girdling in old boreal spruce forest[J]. *Forest Ecology and Management*, 2009, **257** (8): 1764-1767.
- [ 4 ] Ren F, Yang X X, Zhou H K, *et al.* Contrasting effects of nitrogen and phosphorus addition on soil respiration in an alpine grassland on the Qinghai-Tibetan Plateau[J]. *Scientific Reports*, 2016, **6**: 34786.
- [ 5 ] Tang J W, Baldocchi D D. Spatial-temporal variation in soil respiration in an oak-grass savanna ecosystem in California and its partitioning into autotrophic and heterotrophic components[J]. *Biogeochemistry*, 2005, **73**(1): 183-207.
- [ 6 ] 周小刚, 张彦军, 南雅芳, 等. 黄土区农田和草地生态系统土壤呼吸差异及其影响因素[J]. *环境科学*, 2013, **34**(3): 1026-1033.
- Zhou X G, Zhang Y J, Nan Y F, *et al.* Differences in soil respiration between cropland and grassland ecosystems and factors influencing soil respiration on the Loess Plateau [ J ]. *Environmental Science*, 2013, **34**(3): 1026-1033.
- [ 7 ] 严俊霞, 秦作栋, 张义辉, 等. 土壤温度和水分对油松林土壤呼吸的影响[J]. *生态学报*, 2009, **29**(12): 6366-6376.
- Yan J X, Qin Z D, Zhang Y H, *et al.* Effect of soil temperature and moisture on soil CO<sub>2</sub> efflux in a *Pinus tabulaeformis* forest [ J ]. *Acta Ecologica Sinica*, 2009, **29**(12): 6366-6376.
- [ 8 ] Moyano F E, Manzoni S, Chenu C. Responses of soil heterotrophic respiration to moisture availability: an exploration of processes and models[J]. *Soil Biology and Biochemistry*, 2013, **59**: 72-85.
- [ 9 ] Niu F R, Chen J, Xiong P F, *et al.* Responses of soil respiration to rainfall pulses in a natural grassland community on the semi-arid Loess Plateau of China[J]. *CATENA*, 2019, **178**: 199-208.
- [ 10 ] 张鹤, 陈吉, 熊沛枫, 等. 黄土丘陵区 3 种典型天然草地群落土壤呼吸对模拟降雨的响应[J]. *环境科学学报*, 2017, **37**(8): 3139-3148.
- Zhang H, Chen J, Xiong P F, *et al.* Soil respiration response to simulated rainfall pulses in natural grassland communities in loess hilly-gully region[J]. *Acta Scientiae Circumstantiae*, 2017, **37** (8): 3139-3148.
- [ 11 ] Li J, Li Z A, Wang F M, *et al.* Effects of nitrogen and phosphorus addition on soil microbial community in a secondary tropical forest of China[J]. *Biology and Fertility of Soils*, 2015, **51**(2): 207-215.
- [ 12 ] Zhong Y Q W, Yan W M, Zong Y Z, *et al.* Biotic and abiotic controls on the diel and seasonal variation in soil respiration and its components in a wheat field under long-term nitrogen fertilization[J]. *Field Crops Research*, 2016, **199**: 1-9.
- [ 13 ] Wang R, Sun Q Q, Wang Y, *et al.* Temperature sensitivity of soil respiration: synthetic effects of nitrogen and phosphorus fertilization on Chinese Loess Plateau[J]. *Science of the Total Environment*, 2017, **574**: 1665-1673.
- [ 14 ] Zhang C P, Niu D C, Hall S J, *et al.* Effects of simulated nitrogen deposition on soil respiration components and their temperature sensitivities in a semiarid grassland[J]. *Soil Biology and Biochemistry*, 2014, **75**: 113-123.
- [ 15 ] Jia X X, Shao M A, Wei X R. Responses of soil respiration to N addition, burning and clipping in temperate semiarid grassland in northern China[J]. *Agricultural and Forest Meteorology*, 2012, **166-167**: 32-40.
- [ 16 ] Ramirez K S, Craine J M, Fierer N. Nitrogen fertilization inhibits soil microbial respiration regardless of the form of nitrogen applied[J]. *Soil Biology and Biochemistry*, 2010, **42** (12): 2336-2338.
- [ 17 ] Janssens I A, Dieleman W, Luysaert S, *et al.* Reduction of forest soil respiration in response to nitrogen deposition [ J ]. *Nature Geoscience*, 2010, **3**(5): 315-322.
- [ 18 ] Deng Q, Zhou G, Liu J, *et al.* Responses of soil respiration to elevated carbon dioxide and nitrogen addition in young subtropical forest ecosystems in China[J]. *Biogeosciences*, 2010, **7**(1): 315-328.
- [ 19 ] Wallenstein M D, McNulty S, Fernandez I J, *et al.* Nitrogen fertilization decreases forest soil fungal and bacterial biomass in three long-term experiments [ J ]. *Forest Ecology and Management*, 2006, **222**(1-3): 459-468.
- [ 20 ] Li J H, Yang Y J, Li B W, *et al.* Effects of nitrogen and phosphorus fertilization on soil carbon fractions in Alpine Meadows on the Qinghai-Tibetan Plateau[J]. *PLoS One*, 2014, **9**(7): e103266.
- [ 21 ] Niu S L, Classen A T, Dukes J S, *et al.* Global patterns and substrate-based mechanisms of the terrestrial nitrogen cycle[J]. *Ecology Letters*, 2016, **19**(6): 697-709.
- [ 22 ] 贺云龙, 齐玉春, 彭琴, 等. 外源碳氮添加对草地碳循环关键过程的影响[J]. *中国环境科学*, 2018, **38**(3): 1133-1141.
- He Y L, Qi Y C, Peng Q, *et al.* Effects of exogenous carbon and nitrogen addition on the key process of carbon cycle in grassland ecosystem: a review [ J ]. *China Environmental Science*, 2018, **38**(3): 1133-1141.
- [ 23 ] Schuman G E, Janzen H H, Herrick J E. Soil carbon dynamics and potential carbon sequestration by rangelands [ J ]. *Environmental Pollution*, 2002, **116**(3): 391-396.
- [ 24 ] 文海燕, 傅华, 郭丁. 黄土高原典型草原优势植物凋落物分解及养分释放对氮添加的响应[J]. *生态学报*, 2017, **37** (6): 2014-2022.
- Wen H Y, Fu H, Guo D. Influence of nitrogen addition on *Stipa bungeana* and *Heteropappus altaicus* litter decomposition and nutrient release in a steppe located on the Loess Plateau [ J ]. *Acta Ecologica Sinica*, 2017, **37**(6): 2014-2022.
- [ 25 ] Liang T, Tong Y A, Xu W, *et al.* Atmospheric nitrogen deposition in the Loess area of China[J]. *Atmospheric Pollution Research*, 2016, **7**(3): 447-453.
- [ 26 ] 刘海威, 张少康, 焦峰. 氮磷添加对不同退耕年限草本植被群落及土壤化学计量特征的影响[J]. *水土保持学报*, 2017, **31**(2): 333-338.
- Liu H W, Zhang S H, Jiao F. Effects of nitrogen and phosphorus addition on community and soil stoichiometric characteristics of abandoned farmlands of different vegetation restoration years[J]. *Journal of Soil and Water Conservation*, 2017, **31**(2): 333-338.
- [ 27 ] 田祥宇, 涂利华, 胡庭兴, 等. 华西雨屏区苦竹人工林土壤呼吸各组分特征及其温度敏感性[J]. *应用生态学报*, 2012, **23**(2): 293-300.
- Tian X Y, Tu L H, Hu T X, *et al.* Characteristics of soil respiration components and their temperature sensitivity in a *Pleioblastus amarus* plantation in Rainy Area of West China[J]. *Chinese Journal of Applied Ecology*, 2012, **23**(2): 293-300.
- [ 28 ] 吴君君, 杨智杰, 刘小飞, 等. 米槠和杉木人工林土壤呼吸及其组分分析[J]. *植物生态学报*, 2014, **38**(1): 45-53.
- Wu J J, Yang Z J, Liu X F, *et al.* Analysis of soil respiration and components in *Castanopsis carlesii* and *Cunninghamia lanceolata* plantations [ J ]. *Chinese Journal of Plant Ecology*,

- 2014, **38**(1): 45-53.
- [29] Fang H J, Cheng S L, Yu G R, *et al.* Responses of CO<sub>2</sub> efflux from an alpine meadow soil on the Qinghai Tibetan Plateau to multi-form and low-level N addition[J]. *Plant and Soil*, 2012, **351**(1-2): 177-190.
- [30] Xu W H, Wan S Q. Water-and plant-mediated responses of soil respiration to topography, fire, and nitrogen fertilization in a semiarid grassland in northern China [J]. *Soil Biology and Biochemistry*, 2008, **40**(3): 679-687.
- [31] 胡伟, 张亚红, 李鹏, 等. 不同施氮水平对紫花苜蓿草地土壤呼吸和土壤生化性质的影响[J]. *环境科学*, 2019, **40**(6): 2858-2868.  
Hu W, Zhang Y H, Li P, *et al.* Effects of different levels of nitrogen fertilization on soil respiration rates and soil biochemical properties in an Alfalfa Grassland[J]. *Environmental Science*, 2019, **40**(6): 2858-2868.
- [32] Yan L M, Chen S P, Huang J H, *et al.* Differential responses of auto-and heterotrophic soil respiration to water and nitrogen addition in a semiarid temperate steppe [J]. *Global Change Biology*, 2010, **16**(8): 2345-2357.
- [33] Zhang Q, Lei H M, Yang D W. Seasonal variations in soil respiration, heterotrophic respiration and autotrophic respiration of a wheat and maize rotation cropland in the North China Plain [J]. *Agricultural and Forest Meteorology*, 2013, **180**: 34-43.
- [34] Wang X Y, Zhao X Y, Li Y L, *et al.* Responses of soil respiration to simulated precipitation and nitrogen, phosphorus additions in Horqin sandy land of northeastern China [J]. *Fresenius Environmental Bulletin*, 2013, **22**(5): 1463-1471.
- [35] Liu L, Gundersen P, Zhang T, *et al.* Effects of phosphorus addition on soil microbial biomass and community composition in three forest types in tropical China [J]. *Soil Biology and Biochemistry*, 2012, **44**(1): 31-38.
- [36] Sun Q Q, Wang R, Wang Y, *et al.* Temperature sensitivity of soil respiration to nitrogen and phosphorous fertilization: does soil initial fertility matter? [J]. *Geoderma*, 2018, **325**: 172-182.
- [37] 姜继韶, 郭胜利, 王蕊, 等. 施氮对黄土旱塬区春玉米土壤呼吸和温度敏感性的影响[J]. *环境科学*. 2015. **36**(5): 1802-1809.  
Jiang J S, Guo S L, Wang R, *et al.* Effects of nitrogen fertilization on soil respiration and temperature sensitivity in spring maize field in semi-arid regions on Loess Plateau [J]. *Environmental Science*, 2015, **36**(5): 1802-1809.
- [38] 陈忠, 林成芳, 张星星, 等. 干扰强度对亚热带米楮人促更新林土壤呼吸及其组分的影响[J]. *应用生态学报*, 2017, **28**(1): 19-27.  
Chen Z, Lin C F, Zhang X X, *et al.* Effects of interference intensity on soil respiration and its components in *Castanopsis carlesii* forest with artificially assisted regeneration in subtropical China[J]. *Chinese Journal of Applied Ecology*, 2017, **28**(1): 19-27.



## CONTENTS

Spatiotemporal Variations of PM <sub>2.5</sub> Pollution Evolution in China in Recent 20 Years .....	SHI Yan, LIU Rui-mei, LUO Yi, <i>et al.</i> ( 1 )
Characteristics of Aerosol Particulate Concentrations and Their Climate Background in Shanghai During 2007-2016 .....	ZHENG Qing-feng, SHI Jun, TAN Jian-guo, <i>et al.</i> ( 14 )
Characteristics and Sources of Elements in PM <sub>2.5</sub> During Summer for Three Typical Cities in Pingdingshan-Suizhou-Wuhan, Central China .....	LIU Wei-jie, SHI Ming-ming, CHENG Cheng, <i>et al.</i> ( 23 )
PM <sub>2.5</sub> Pollution Characteristics During Winter and Summer in the Hohhot-Baotou-Ordos Region, China .....	LI Yi-ming, LIU Jia-yuan, SHI Guo-liang, <i>et al.</i> ( 31 )
Analysis of Pollution Characteristics and Sources of PM <sub>2.5</sub> During Heavy Pollution in Shijiazhuang City Around New Year's Day 2019 .....	ZHOU Jing-bo, DUAN Jing-chun, WANG Jian-guo, <i>et al.</i> ( 39 )
Modeling Studies of Source Contributions to PM <sub>2.5</sub> in Chengdu, China .....	XU Yan-ling, YI Ai-hua, XUE Wen-bo ( 50 )
Chemical Characteristics of Arsenic in PM <sub>2.5</sub> in Beijing .....	SHI Shao-xuan, YANG Yan-rong, QIN Juan-juan, <i>et al.</i> ( 57 )
Pollution Characteristics and Potential Source Contributions of Gaseous Elemental Mercury (GEM) During Summer and Autumn in Ningbo City .....	YI Hui, LIN Jia-mei, CAI Qiu-liang, <i>et al.</i> ( 65 )
Seasonal Characteristics and Source Analysis of Water-Soluble Ions in PM <sub>2.5</sub> of Anyang City .....	SUN You-chang, JIANG Nan, WANG Shen-bo, <i>et al.</i> ( 75 )
Analysis of Stable Carbon Isotope Characteristics of PM <sub>2.5</sub> in Summer and Winter Season in Xixiang City .....	YAN Guang-xuan, SONG Xin, ZHANG Jing-wen, <i>et al.</i> ( 82 )
Construction and Evaluation on Size Resolved Source Apportionment Methods Based on Particle Size Distribution of Chemical Species .....	LIANG Yong-li, TIAN Ying-ze, LIU Tong, <i>et al.</i> ( 90 )
Fine Particulate Emission Characteristics of an Ultra-Low Emission Coal-Fired Power Plant .....	WANG Run-fang, MA Da-wei, JIANG Shao-yi, <i>et al.</i> ( 98 )
Driving Factors of the Significant Increase in Surface Ozone in the Beijing-Tianjin-Hebei Region, China, During 2013-2018 .....	YU Yi-jun, MENG Xiao-yan, WANG Zhen, <i>et al.</i> ( 106 )
Characteristic of Surface Ozone and Meteorological Parameters Analysis in Anyang City .....	YANG Jian, YIN Sha-sha, YU Shi-jie, <i>et al.</i> ( 115 )
Emission Inventory of Intermediate Volatility Organic Compounds from Vehicles in the Yangtze River Delta in 2017 and the Impact on the Formation Potential of Secondary Organic Aerosols .....	WANG Qian, HUANG Ling, WANG Yang-jun, <i>et al.</i> ( 125 )
Exhaust Smoke of Non-Road Vehicles in Typical Cities of Eastern China .....	LU Jun, HU Qing-yao, YANG Qiang, <i>et al.</i> ( 133 )
Emission Status and Standards of Volatile Organic Compounds from Chinese and Foreign Bulk Petroleum Terminals .....	HU Wei, REN Bi-qi, HUANG Yu-hu, <i>et al.</i> ( 139 )
Secondary Organic Aerosol Mass Yield and Characteristics from 4-ethylguaiaacol Aqueous ·OH Oxidation: Effects of Initial Concentration .....	ZHUANG Yu, CHEN Yan-tong, LI Xu-dong, <i>et al.</i> ( 146 )
Stable Isotope Characteristics and Vapor Source of Precipitation in the South and North Slopes of Wushaoling Mountain .....	XU Xiu-ting, JIA Wen-xiong, ZHU Guo-feng, <i>et al.</i> ( 155 )
Characteristics and Influencing Factors of Stable Hydrogen and Oxygen Isotopes in Groundwater in the Permafrost Region of the Source Region of the Yangtze River .....	WANG Shao-yong, HE Xiao-bo, DING Yong-jian, <i>et al.</i> ( 166 )
Hydrochemical and Isotopic Characteristics of the Lake Balkhash Catchment, Kazakhstan .....	SHEN Bei-bei, WU Jing-lu, JILILI Abuduwaili, <i>et al.</i> ( 173 )
Effect of a Comprehensive Improvement Project on Water Quality in Urban Lakes: A Case Study of Water Quality Variation in Lihu Lake Over the Past 30 Years .....	TIAN Wei, YANG Zhou-sheng, SHAO Ke-qiang, <i>et al.</i> ( 183 )
Detection Method, Distribution, and Risk Assessment of Pharmaceuticals and Personal Care Products in the Yellow Sea and the East China Sea .....	CHEN Xian, ZHANG Cai-jie, YANG Gui-peng, <i>et al.</i> ( 194 )
Occurrence and Risk Assessment of Organophosphate Esters in Source Water of the Nanjing Section of the Yangtze River .....	LI Dong, ZHANG Sheng-hu, ZHANG Qin, <i>et al.</i> ( 205 )
Spatial Distribution, Spectral Characteristics, and Sources Analysis of Dissolved Organic Matter from Baiyangdian Lake in Xiong'an New District During the Winter Freezing Period .....	ZHOU Shi-lei, SUN Yue, ZHANG Yi-ran, <i>et al.</i> ( 213 )
Spatial Characteristics, Risk Assessment, and Source Analysis of Elements in Surface Sediments from the Baiyangdian Lake .....	WANG Jing-zhong, LIU Zhou, WEI Hao, <i>et al.</i> ( 224 )
Distribution Characteristics and Ecological Risk Assessment of Phthalate Esters in Surface Sediments of the Songhua River .....	WANG Huan, YANG Yong-zhe, WANG Hai-yan, <i>et al.</i> ( 232 )
Occurrence Relationship Between Microplastics and Heavy Metals Pollutants in the Estuarine Sediments of Poyang Lake and the Yangtze River .....	LI Wen-hua, JIAN Min-fei, LIU Shu-li, <i>et al.</i> ( 242 )
Effect of Ozonation on Microorganism in the Biological Activated Carbon and Disinfection By-Products in the Effluent .....	LIU Bao-ming, WANG Xi-xi, ZHANG Xiao-xia, <i>et al.</i> ( 253 )
Refined Assessment of Exposure and Health Risks of Heavy Metals in Water for the Children in Xigu District, Lanzhou .....	CHEN Yue-fang, SUN Shan-wei, DUAN Xiao-li, <i>et al.</i> ( 262 )
Adsorption of Phosphate on Mg/Fe Layered Double Hydroxides (Mg/Fe-LDH) and Use of Mg/Fe-LDH as an Amendment for Controlling Phosphorus Release from Sediments .....	WU Jun-lin, LIN Jian-wei, ZHAN Yan-hui, <i>et al.</i> ( 273 )
Characteristics and Mechanism of Monothioarsenate Adsorption on Sand, Sediment, and Goethite .....	LIAO Dan-xue, SHAN Hui-mei, PENG San-xi, <i>et al.</i> ( 284 )
Substructure Characteristics of Combined Acid-Base Modified Sepiolite and Its Adsorption for Cd(II) .....	XIE Sha, XU Ying-ming, YAN Cui-xia, <i>et al.</i> ( 293 )
Characteristics of Nitrogen Metabolism by Denitrifying Bacterial Agents in Low Dissolved Oxygen Black Odor Water .....	ZHAO Zhi-rui, LIU Shuo, LI Duo, <i>et al.</i> ( 304 )
Metagenomic Analysis of Antibiotic Resistant Bacteria and Resistance Genes in a Pharmaceutical and Chemical Wastewater Treatment Plant .....	CHEN Hong-ling, ZHANG Xing-tao, WANG Qing, <i>et al.</i> ( 313 )
Measurements of Bacterial Community and Biodiversity from Activated Sludge for a Wastewater Treatment Containing Starch .....	ZHAO Ting-ting, QIAO Kai, WANG Lei, <i>et al.</i> ( 321 )
Process Control and Operation Optimization of PN-SAD Coupling Process Based on SBR-ABR .....	CHEN Chong-jun, ZHANG Min, JIANG Ying, <i>et al.</i> ( 330 )
Effects of Intermittent Starvation on the Operation of the SNAD Process .....	LI Dong, LIU Zhi-cheng, XU Gui-da, <i>et al.</i> ( 337 )
Nitrogen Removal from Mature Landfill Leachate via Denitrification-Partial Nitrification-ANAMMOX Based on a Zeolite Biological Aerated Filter .....	CHEN Xiao-zhen, WANG Xiao-jun, Karasuta Chayangkun, <i>et al.</i> ( 345 )
Rapid Achievement of Nitrifying Micro-granular Sludge and Its Nitrification Function .....	LIU Wen-ru, SONG Jia-jun, WANG Jian-fang, <i>et al.</i> ( 353 )
Effect of On/Off Aeration Time Ratio Under High Frequency On/Off Aeration on Performance of Nitrosated Granular Sludge .....	ZHANG Jie, LAO Hui-mei, LI Dong, <i>et al.</i> ( 360 )
Occurrence, Distribution, Source, and Health Risk Assessment of Polybrominated Diphenyl Ethers in Surface Soil from the Shen-Fu Region, Northeast China .....	XIANG Xin-xin, LU Yin-tao, RUAN Qi-yang, <i>et al.</i> ( 368 )
Vertical Pollution Characteristics and Sources of Polycyclic Aromatic Hydrocarbons in a Heterogeneous Unsaturated Zone Under a Coking Plant .....	MENG Xiang-shuai, WU Meng-meng, CHEN Hong-han, <i>et al.</i> ( 377 )
Distribution Characteristics of Antibiotic Resistance Genes and Mobile Genetic Elements in Beijing Vegetable Base Soils .....	ZHANG Ru-feng, SONG Yuan, GAO Hao-ze, <i>et al.</i> ( 385 )
Stoichiometric Characteristics of Purple Sloping Cropland Under Long-term Fertilization and Cultivation .....	DU Ying-ni, LI Tian-yang, HE Bing-hui, <i>et al.</i> ( 394 )
Ecological Stoichiometry of Carbon, Nitrogen, and Phosphorus in Subtropical Paddy Soils .....	SONG Jia-ling, SHENG Hao, ZHOU Ping, <i>et al.</i> ( 403 )
Denitrification and Anaerobic Ammonium Oxidation in Soil Nitrogen Migration Process in a Farmland of Wanshandang Lake .....	CHEN Zhi-hao, QIN Yun-bin, DING Bang-jing, <i>et al.</i> ( 412 )
Effects of Straw Biochar on Soil Microbial Metabolism and Bacterial Community Composition in Drip-irrigated Cotton Field .....	WANG Jing, MA Li-juan, LONG Ze-hua, <i>et al.</i> ( 420 )
Source Appointment of Heavy Metals in Agricultural Soils of the Julong River Basin Based on Positive Matrix Factorization .....	HUANG Hua-bin, LIN Cheng-ni, HU Gong-qi, <i>et al.</i> ( 430 )
Spatial Distribution of Soil Arsenic and Arsenic Enrichment in Crops in the Oasis Region of the Southeastern Tarim Basin .....	CHEN Yun-fei, ZHOU Jin-long, ZENG Yan-yan, <i>et al.</i> ( 438 )
Bioavailability, Translocation, and Accumulation Characteristic of Heavy Metals in a Soil-Crop System from a Typical Carbonate Rock Area in Guangxi, China .....	MA Hong-hong, PENG Min, LIU Fei, <i>et al.</i> ( 449 )
Effects of Different Amendments on Fractions and Uptake by Winter Wheat in Slightly Alkaline Soil Contaminated by Cadmium and Nickel .....	ZHANG Jing-jing, ZHU Shuang-ge, ZHU Li-nan, <i>et al.</i> ( 460 )
Effect of Different Passivating Agents on the Stabilization of Heavy Metals in Chicken Manure Compost and Its Maturity Evaluating Indexes .....	LUAN Run-yu, GAO Shan, XU Ying-ming, <i>et al.</i> ( 469 )
Response of Soil Respiration and Its Components to Nitrogen and Phosphorus Addition in Farming-Withdrawn Grassland in the Semiarid Loess Hilly-Gully Region .....	ZHOU Jun-jie, CHEN Zhi-fei, YANG Quan, <i>et al.</i> ( 479 )
Subsequent Effects of Slag and Biochar Application on Greenhouse Gas Emissions from Paddy Fields in the Fuzhou Plain .....	LAN Xing-fu, WANG Xiao-tong, ZHOU Ya-xin, <i>et al.</i> ( 489 )